

Д. ф.-м. н. А. В. КАРИМОВ, к. ф.-м. н. Д. М. ЁДГОРОВА, У. М. БУЗРУКОВ,  
к. ф.-м. н. М. А. МИРДЖАЛИЛОВА, Ш. Ш. БОЛТАЕВА

Узбекистан, г. Ташкент, НПО «Физика-Солнце»  
E-mail: karimov@uzsci.net

Дата поступления в редакцию  
14.11.2005 г.

Оппонент к. т. н. В. В. РЮХТИН  
(ЦКБ «Ритм», г. Черновцы)

## ИССЛЕДОВАНИЕ ФОТОЭЛЕКТРИЧЕСКИХ ХАРАКТЕРИСТИК МИКРОФОТОТЕРМИНАЛА

*Рассмотренная конструкция микрофототерминала может использоваться для изготовления матриц фотовольтаических элементов или фотоприемных устройств с высокой вольтовой фоточувствительностью.*

Для получения большого выходного сигнала с фотоэлектрических приборов в фотогальваническом или фотоприемном режимах возникает необходимость коммутации дискретных элементов в единую цепочку. Решение этой проблемы может быть осуществлено непосредственным электрическим соединением одного элемента с другим или физико-технологическим путем, что предусматривает разработку твердотельных матричных фотопреобразователей и фотоприемников. Матрицу получают путем соединения последовательно расположенных фотопреобразователей — светочувствительных диодов — через металлические шины, соединяющие омические контакты областей одного типа проводимости с областью другого типа следующего элемента. При координатном освещении или при освещении всей поверхности невозможно получить большой выходной сигнал из-за потерь на затененных элементах и за счет различия параметров элементов [1].

Авторы работы [2] с целью перекодировки двухмерного оптического изображения в систему электрических сигналов создали матрицу фотодиодно-диодной структуры типа «сандвич», которая выполнялась на основе трехслойной гетероструктуры с обратновключеными переходами  $n\text{CdS}-p\text{CdTe}-n\text{CdS}$  площадью 1  $\text{мм}^2$ . Один элемент с другим соединялся горизонтальными и вертикальными шинами.

В этом аспекте представляет интерес конструкция фотодиодно-диодной структуры, которая обеспечивает сохранение выходного сигнала как фотопреобразователя, так и фотодиода. Здесь светочувствительный и темновой диоды выполнены в отдельности на слое первого типа проводимости в виде двух изолированных областей [3].

Контактные площадки выполнены таким образом, что каждый предыдущий элемент соединяется со следующим с одновременной блокировкой темновым диодом (рис. 1). Тогда световое излучение, падающее на любой из светочувствительных диодов, без

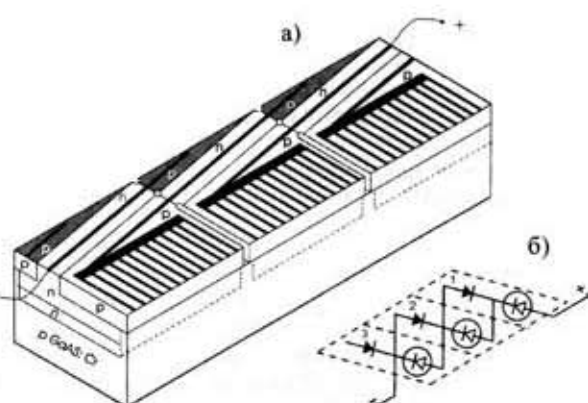


Рис. 1. Общий вид матрицы фотозелектрического генератора (а) и его эквивалентная схема (б)

потерь будет вызывать фото-ЭДС на выходе, т. е. полезный ток в затененных участках будет проходить через блокирующие диоды. В результате потери в матрице, по сравнению с последовательным соединением дискретных фотопреобразователей, должны уменьшиться с 40% [1] до 20% за счет исключения потерь в межсоединениях и разности параметров каждого элемента.

В другом случае, за счет возникновения шунтирующего проводящего слоя под диэлектрическим слоем шины, соединяющей один элемент с другим, выходной сигнал уменьшился на 33% по сравнению с дискретным элементом [1].

Матрица состоит из нескольких блокирующих и светочувствительных диодов, соединенных, как показано на рис. 1. Дискретную часть предлагаемой конструкции — отдельный блокирующий диод с последовательно соединенным встречным светочувствительным диодом — мы назвали микрофототерминалом [4]. Толщина его активной области *n*-типа составляет 2—4 мкм, а диффузионный слой *p*-типа и того меньше — 0,2—1 мкм. Изучение свойств дискретной части фотоэлектрического генератора [3] с выполненными в едином технологическом процессе темновым диодным и световым фотодиодным *p-n*-переходами (рис. 1, а, ячейки 1), позволит выявить его функциональные возможности, преимущества и недостатки.

В настоящей работе приводятся результаты исследования фотодиодно-диодной структуры на основе арсенида галлия в фотогальваническом и фотоприемном режимах.

**И**сследуемая структура содержит светочувствительный элемент большой площади ( $16 \text{ mm}^2$ ) и темновой диод ( $5 \text{ mm}^2$ ), сформированные на единой подложке (рис. 2). На поверхности арсенида галлия *n*-типа проводимости выращивается эпитаксиальный слой *n*-типа с концентрацией носителей  $2 \cdot 10^{17} \text{ cm}^{-3}$  и толщиной 4 мкм. На поверхность слоя избирательно наносится окисный слой кремния — таким образом, что открытыми остаются две площадки — одна для темнового, другая для светочувствительного диодов. Затем из газовой фазы осуществляют диффузию цинка до уровня концентрации  $6 \cdot 10^{18} \text{ cm}^{-3}$  и таким образом одновременно получают отделенные друг от друга два *p*GaAs-*n*GaAs-перехода, соединенных между собой через эпитаксиальный слой *n*GaAs. Омические контактные площадки получают напылением в вакууме сплава Ag+Sn+In через Ш-образную маску на светочувствительный диод, а на поверхность темнового диода — сплошного слоя этого же сплава и сверху Ni.

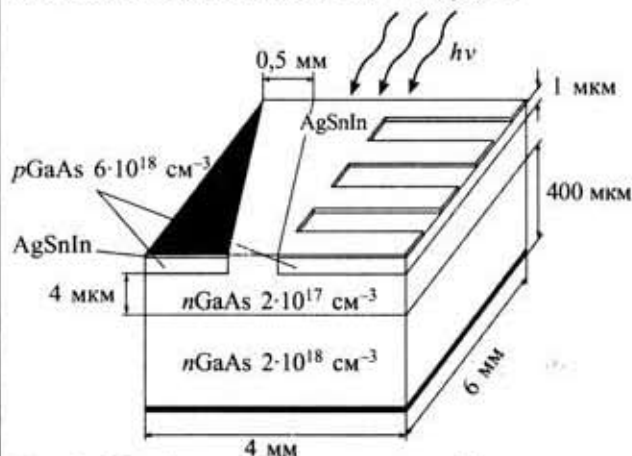


Рис. 2. Общий вид исследуемого микрофототерминала

Для исследования параметров микрофототерминала использовали блок-схему рис. 3. Фотогальванический режим получали путем отключения источника питания тумблером  $T_3$ , при этом переключением тумблера  $T_2$  снимались нагрузочные характеристики светочувствительного диода (*n*GaAs-*p*GaAs) как в отдельности, так и с последовательно соединенным с ним темновым диодом (*p*GaAs-*n*GaAs-*p*GaAs).

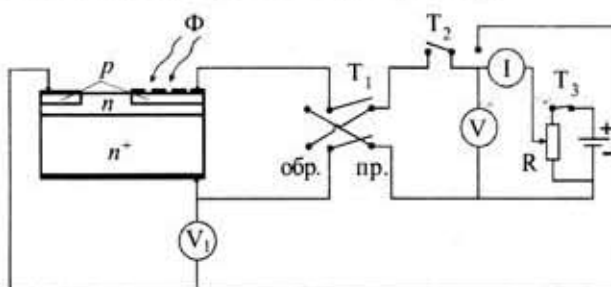


Рис. 3. Принципиальная схема установки для измерений

Сравнение нагрузочных характеристик отдельной фотодиодной и диодно-фотодиодной структур показывает, что в фотогальваническом режиме фототок короткого замыкания претерпевает небольшие изменения (рис. 4). Его величина с 1,794 мА уменьшается до 1,68 мА при диодно-фотодиодном включении.

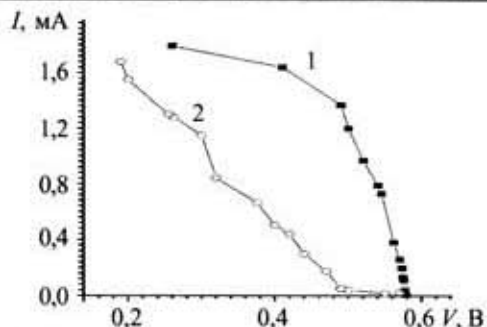


Рис. 4. Нагрузочные характеристики отдельной фотодиодной (1) и диодно-фотодиодной (2) структуры

Здесь необходимо отметить, что сопротивление темнового диода в режиме короткого замыкания, по расчетным данным, составляет 200 Ом.

Рассчитанные потери на основе нагрузочной характеристики без светочувствительного диода, подключаемого к темновому диоду, составили 6,3%.

При коммутации, т. е. при подключении второй и третьей ячеек (рис. 1), блокирующий темновой диод тоже будет нагружен на светочувствительный фотодиод, т. е. ток в цепи увеличится. Кроме того, необходимо исключить сопротивление амперметра, высступающего как дополнительное нагрузочное сопротивление.

Возможность создания матрицы из светочувствительного и блокирующего диодов определяется, прежде всего, воспроизводимостью и надежностью принципа коммутации дискретных элементов. С этой точки зрения важным является то, что все коммутируемые элементы исследуемой матрицы выполняются в едином процессе. В принципе, за счет простоты конструкции и возможности упрощенного соединения элементов рассмотренный микрофототерминал может быть использован для создания на его основе матрицы.

В фотодиодно-диодной структуре, используемой для обработки световых сигналов, темновые и световые параметры при данном рабочем напряжении должны существенно различаться [2]. Кроме того, темновые и световые характеристики не должны иметь каких-либо аномалий, т. е. изменений механизмов токообразования.

Фотоприемный режим создается при подаче напряжения положительной полярности к *p*-области ( $\text{Ag}+\text{Sn}+\text{In}$ )-*p*GaAs-*n*GaAs-структуры и отрицательной полярности к *p*-области *n*GaAs-*p*GaAs-( $\text{Ag}+\text{Sn}+\text{In}$ )-Ni-структуре. Параметры светочувствительного ( $\text{Ag}+\text{Sn}+\text{In}$ )-*p*GaAs-*n*GaAs-Sn-диода исследовались при подаче прямого и обратного напряжения к верхнему контакту ( $\text{Ag}+\text{Sn}+\text{In}$ ), с одной стороны, и к сплошному нижнему контакту из Sn, с другой стороны, при переключении тумблера  $T_1$  (рис. 3). Освещение осуществлялось от интегрального источника с максимумом длины волны  $\lambda=0,55 \text{ мкм}$ .

На рис. 5 приведены вольт-амперные характеристики фотодиодной части ( $\text{Ag}+\text{Sn}+\text{In}$ )-*p*GaAs-*n*GaAs-Sn-перехода. Видно, что в темноте прямой ток изменяется в зависимости от напряжения по экспоненциальному закону с коэффициентом неидеальности

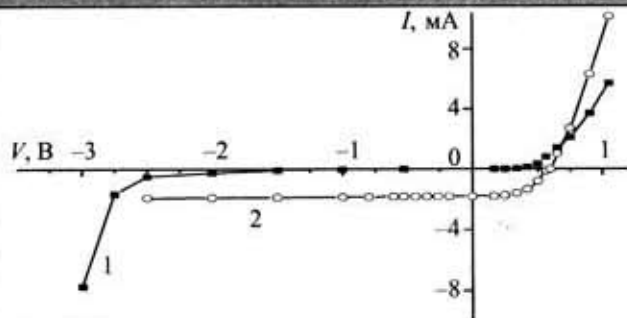


Рис. 5. Вольт-амперные характеристики светочувствительного диода в темноте (1) и при освещении (2)

$n=2,71$ , а обратный ток — по степенному закону с показателем степени  $\gamma=0,85$  [5], что обусловлено генерационно-рекомбинационными процессами в слое объемного заряда  $p-n$ -перехода.

При освещении в прямом направлении возникает вентильная фотодиод с напряжением холостого хода, определяемым точкой пересечения кривой 2 с осью абсцисс ( $V_{xx}=0,6$  В), и величиной тока короткого замыкания, определяемой точкой пересечения с осью ординат ( $I_{k3}=1,8$  мА). При освещении прямое сопротивление  $p-n$ -перехода уменьшается. В обратном направлении с увеличением приложенного напряжения вплоть до 2,5 В фототок (разность светового и темнового значений) сохраняется на одном уровне.

Как показали исследования полученной фотодиодно-диодной ( $\text{Ag}+\text{Sn}+\text{In}$ )— $p\text{GaAs}-n\text{GaAs}-p\text{GaAs}$  ( $\text{Ag}+\text{Sn}+\text{In}$ ) $\text{Ni}$ -структур, в фотоприемном режиме (при подключении источника напряжения между планарными контактами  $\text{Ag}+\text{Sn}+\text{In}$  и  $\text{Ni}$  тумблер  $T_2$  соединяет «+» источника питания с  $p$ -областью темнового диода, а тумблер  $T_1$  находится в положении «обр.» — см. рис. 3) происходит перераспределение прилагаемого напряжения между темновым диодом и фотодиодом. При этом фотодиод по отношению к прилагаемому напряжению включен в обратном запирающем направлении, а темновой диод — в прямом («пр.»).

В целом микрофототерминал представляет собой двухбарьерную структуру на основе прямовключенных  $p-n$ -переходов. Поэтому прилагаемое извне напряжение перераспределяется между переходами таким образом, что мы можем измерить напряжение, падающее в темновом диоде:

$$V_{\text{общ}}^{p-n-p} = V_{\text{пр}}^{\text{TД}} + V_{\text{обр}}^{\text{ФД}}. \quad (1)$$

Напряжение прилагаемое  $V_{\text{общ}}^{p-n-p}$  и падающее на темновом диоде  $V_{\text{пр}}^{\text{TД}}$  измеряются вольтметрами, а падающее на фотодиоде  $V_{\text{обр}}^{\text{ФД}}$  вычисляется из (1).

Значения падающих на соответствующих переходах напряжений и толщины слоя обеднения запираемого фотодиода  $W^{p-n}$  в зависимости от общего напряжения в исследованном диапазоне приведены в таблице.

Как видно из таблицы, основная часть напряжения падает на запираемом фотодиоде, увеличивая толщину слоя объемного заряда:

$$W^{p-n} = \left( \frac{2\epsilon\epsilon_0}{q} \frac{(N_p + N_n)(V_k + V_{2(\text{обр})}^{p-n})}{N_p N_n} \right)^{\frac{1}{2}}, \quad (2)$$

$V_{\text{общ}}^{p-n-p}$	В темноте			При освещении		
	$V_{\text{пр}}^{\text{TД}}$ , В	$V_{\text{обр}}^{\text{ФД}}$ , В	$W^{p-n}$ , см	$V_{\text{пр}}^{\text{TД}}$ , В	$V_{\text{обр}}^{\text{ФД}}$ , В	$W^{p-n}$ , см
—	—	—	0,0000089	—	—	—
3,5	—	—	—	0,32	3,18	0,0000167
4	0,25	3,75	0,0000178	0,35	3,65	0,0000176
4,5	0,28	4,22	0,0000186	0,4	4,1	0,0000184
5	0,3	4,7	0,0000194	0,41	4,59	0,0000192
5,5	0,34	5,16	0,00002	0,43	5,07	0,0000199
6	0,4	5,6	0,000021	0,48	5,52	0,0000207
6,5	0,45	6,05	0,0000215	0,52	5,98	0,0000214
7	0,53	6,47	0,0000221	—	—	—

где  $\epsilon, \epsilon_0$  — диэлектрические проницаемости полупроводника и вакуума, соответственно;  
 $N_p = 6 \cdot 10^{18} \text{ см}^{-3}$  — концентрация носителей в диффузионном слое  $p$ -типа;  
 $N_n = 2 \cdot 10^{17} \text{ см}^{-3}$  — концентрация носителей в эпитаксиальном слое  $n$ -типа проводимости;

$V_k$  — контактная разность потенциалов  $p-n$ -перехода:

$$V_k = \frac{kT}{q} \ln \frac{N_p N_n}{n_i^2} = 1,27 \text{ эВ}.$$

Значение толщины слоя объемного заряда запираемого  $p-n$ -перехода фотодиода в темноте и при освещении изменяется по одному и тому же закону. Стсюда должно следовать, что если под воздействием света photoносители генерируются в слое объемного заряда, то с увеличением его толщины фототок должен увеличиваться. Однако в данном случае наблюдается постоянство величины фототока. Очевидно, генерация носителей осуществляется в  $p$ -области на глубине диффузионной длины неосновных носителей  $L_p$ . Тогда фототок в запираемом переходе будет определяться выражением [6, с. 56]

$$I_\phi = qS(\Delta p/\tau_n)d, \quad (3)$$

где  $S$  — площадь  $p-n$ -перехода;

$\Delta p$  — концентрация генерированных светом носителей;

$\tau_n$  — время жизни неосновных носителей;

$d$  — толщина фронтального слоя  $p$ -области.

В данном случае, т. к.  $d=L_p$ , фототок будет определяться только интенсивностью света, и вольт-амперная характеристика будет определяться выражением

$$-I = (I_0 + I^\phi) = \frac{q n_i W}{2\tau_n d} + qS(\Delta p/\tau_n)d, \quad (4)$$

где  $I_0$  — темновой ток насыщения;

$n_i$  — собственная концентрация носителей;

$W$  — толщина слоя объемного заряда.

На рис. 6 видно, что величина обратного тока в темноте и при освещении возрастает по одному и тому же закону, что позволяет получить управляемый рабочим напряжением выходной сигнал. Величина этого сигнала (разность темнового и светового напряжения для заданного тока) по сравнению с диодным включением увеличивается в два раза, а фототок (разность темнового и светового тока для заданного напряжения) остается на том же уровне.

Таким образом, фотоэлектрические свойства светочувствительной  $n\text{GaAs}-p\text{GaAs}$ -структур при фотодиодно-диодном включении  $p\text{GaAs}-n\text{GaAs}-p\text{GaAs}$

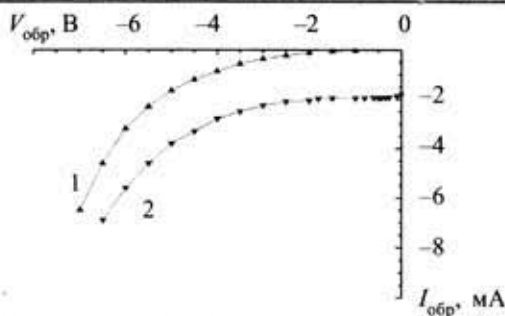


Рис. 6. Обратные ВАХ фотодиодно-диодной структуры:  
1 — темновая; 2 — световая

в режиме запирания не только сохраняются, но и улучшаются. В частности, если токовая фоточувствительность

$$S_i^\phi = \frac{I^\phi - I^0}{\Phi} = \frac{I^\phi}{\Phi} \quad (5)$$

( $\Phi$  — освещенность) не изменяется, то вольтовая фоточувствительность

$$S_v^\phi = \frac{V^\phi - V^0}{\Phi} = \frac{V^\phi}{\Phi} \quad (6)$$

возрастает в два раза за счет увеличения фотонапряжения  $I^\phi$  с 2,5 В до 5 В.

Так, токовая (вольтовая) фоточувствительность диодной структуры определяется отношением вырабатываемого фототока (фотонапряжения) к падающей световой мощности  $S_i^\phi = I^\phi / (E_{\text{лк}} \cdot S_m^2)$ . Здесь  $E_{\text{лк}} \cdot S_m^2 = \Phi_{\text{лм}}$  ( $E_{\text{лк}}$  — освещенность фотоприемной поверхности, лк;  $S_m^2$  — площадь фотоприемной поверхности, м<sup>2</sup>;  $\Phi_{\text{лм}}$  — мощность падающего светового потока, лм). Для интегрального света с максимумом длины волны 0,55 мкм 1 лм = 0,0015 Вт [7, с. 52—56].

Фототок при заданной освещенности  $\Phi = 10^3$  лк во всем диапазоне напряжений, начиная от нуля, равен  $1,8 \cdot 10^{-3}$  А. Максимальное значение фотонапряжения в окрестности 5 В составляет 5,05 В, а затем уменьшается до 1,3 В при напряжении 5,95 В (рис. 7).

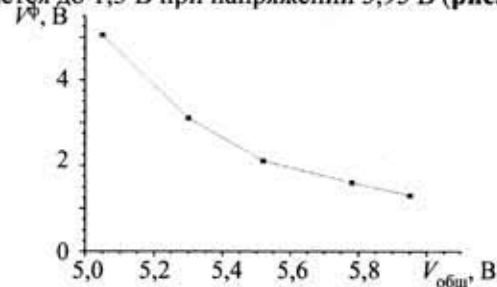


Рис. 7. Зависимость фотонапряжения от прилагаемого напряжения

При площади светочувствительной структуры 16 мм<sup>2</sup> токовая и вольтовая фоточувствительности соответственно составят:

$$S_i^\phi = \frac{1,8 \cdot 10^{-3} \text{ А}}{10000 \cdot 0,000016 \text{ лк} \cdot \text{м}^2} = \frac{1,8 \cdot 10^{-3} \text{ А}}{0,16 \text{ лм}} = \\ = \frac{1,8 \cdot 10^{-3} \text{ А}}{0,0015 \cdot 0,16 \text{ Вт}} = \frac{1,8 \cdot 10^{-3} \text{ А}}{0,00024 \text{ Вт}} = 0,75 \text{ А/Вт};$$

$$S_v^\phi = \frac{5,05 \text{ В}}{0,00024 \text{ Вт}} = 21041 \text{ В/Вт}.$$

(При рабочем напряжении 5,95 В  $S_v^\phi$  уменьшается до 5416 В/Вт.)

Таким образом, фотодиодно-диодная структура с фронтальным диффузионным *p*-слоем, толщина которого сравнима с диффузионной длиной, обладает зависимой от прилагаемого напряжения высокой вольтовой фоточувствительностью, имеющей максимум ( $2 \cdot 10^4$  В/Вт), в то время как токовая фоточувствительность остается неизменной [8; 9, с. 193—197] ( $S_i^\phi = 0,75 \text{ А/Вт}$ ).

### Заключение

Исследованы фотоэлектрические параметры фотодиодно-диодной ( $\text{Ag}+\text{Sn}+\text{In}-p\text{GaAs}-n\text{GaAs}-p\text{GaAs}-(\text{Ag}+\text{Sn}+\text{In})\text{Ni}$ -структур, состоящей из встр. чновключенных фото- и темнового диода, в фотогальваническом и фотоприемном режимах. Показано, что даже при последовательно соединенном встречном темновом диоде фотовольтаические параметры микрофототерминала подвержены незначительным изменениям, а фотоприемные свойства при этом улучшаются. Простота конструкции и возможность упрощенного соединения каждого элемента с последующим делают перспективным использование микрофототерминала для создания на его основе матриц с малыми потерями полезного сигнала на межсоединениях и увеличении плотности упаковки. Высокая вольтовая фоточувствительность, управляемая рабочим напряжением, при неизменной токовой фоточувствительности делает возможным использование фотодиодно-диодной структуры для обработки световых сигналов.

### ИСПОЛЬЗОВАННЫЕ ИСТОЧНИКИ

1. Андреев В. М., Егоров Б. В., Лантратов В. М., Сулима О. В. Интегральная солнечная батарея на основе гетерофотозлементов // Тезисы докладов Всесоюз. конф. «Пути использования солнечной энергии». — Черноголовка. — 1981. — С. 12.
2. Фотоэлектрические явления в полупроводниках и оптоэлектроника / Под ред. Э. И. Адировича. — Ташкент: ФАН, 1972.
3. А с. 1106367 СССР. Полупроводниковый фотоэлектрический генератор / С. А. Азимов, А. В. Каримов — 01.04.84.
4. Каримов А. В. Микрофототерминалы для гелиоэнергетических систем // Гелиотехника. — 1994. — № 6. — С. 14—16.
5. Каримов А. В., Конакова Р. В., Ёдгорова Д. М. и др. Влияние морфологических неоднородностей на механизмы токопереноса в солнечных элементах на основе гетероструктур // Петербургский журнал электроники. — 2004. — № 4. — С. 25—30.
6. Викулин И. М., Стafeев В. И. Физика полупроводниковых приборов. — М.: Радио и связь, 1990.
7. Ландсберг Г. С. Оптика. — М.: ГИИТЛ, 1957.
8. Азимов С. А., Карагеоргий-Алкалаев П. М., Каримов А. В., Нирзабаев М. Особенности фоточувствительности арсенидгаллиевых структур типа полевого транзистора // Известия АН УзССР. Сер. физ.-мат. наук. — 1979. — № 2. — С. 44—48.
9. Каримов А. В., Ёдгорова Д. М. Физические явления в арсенидгаллиевых структурах с микрослойным кванзизопериодическим переходом. — Ташкент: Фан, 2005.